



ホームページ： <http://www.sssj.org/ejsnt> 電子メール： ejssnt@sssj.org

J-Stage アーカイブ： <http://www.jstage.jst.go.jp/browse/ejsnt/>

e-JSSNT 13 年間の統計

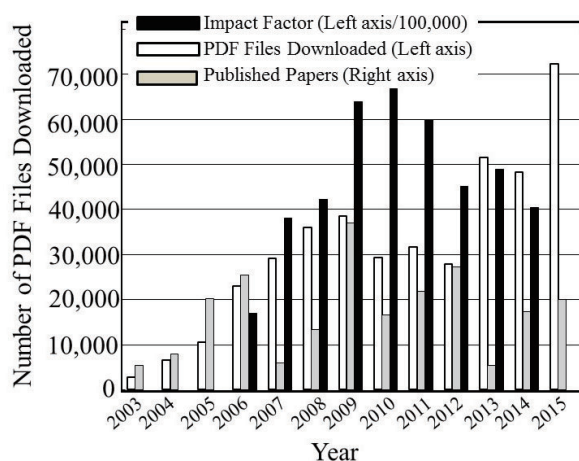


図 1. 年別統計

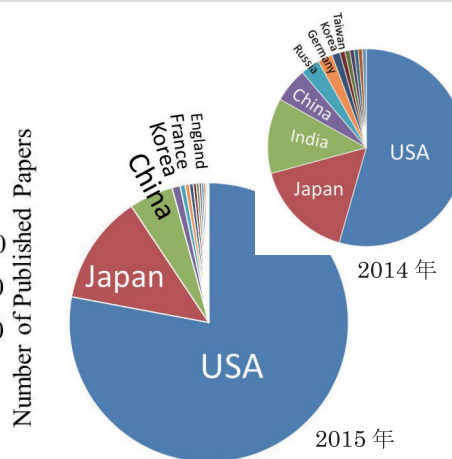


図 2. 2015 年(72,416 件)および 2014 年(48,322 件) 1 年間での PDF ダウンロード数の国別割合

2003 年 5 月に創刊された e-JSSNT は 2016 年から 14 年目 Vol. 14 に入った。創刊以来 e-JSSNT に出版された論文数の年別統計は図 1 の灰色棒で示されており、2015 年 12 月までの 13 年間の総数は 1,119 編に上っている。また、掲載された論文の全文 PDF ファイルのダウンロード数年別統計も図 1 の白色棒で示されている（ロボットによる大量ダウンロードと思われる数は除いている）。2015 年の一年間にダウンロードされた PDF ファイルの総数は 72,416 件に上った。それを国別にみると、図 2 に示すとおり米国が圧倒的に多く、続いて日本、中国となっている。e-JSSNT は購読の必要がなく、誰でも無料で全文を閲覧できる open-access journal であることが海外での普及を促進しているものと思われる。Google および文献リンク網 CrossRef から全文を無料で閲覧できることも広く読まれ原因となっている。

また、図 1 には学術ジャーナルの影響度を表す指数の一つであるインパクトファクター値（Scopus のデータをもとに計算）も示してある（黒色棒）。ここ数年は 0.4~0.5 で推移している。

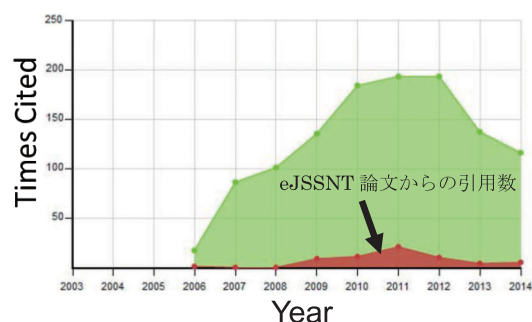


図 3. 出版直後の 3 年間にわたる被引用回数
(総数および eJSSNT の自己引用)

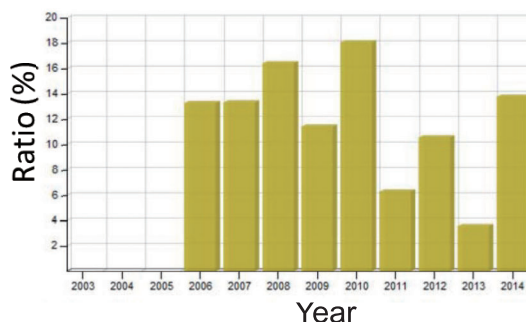
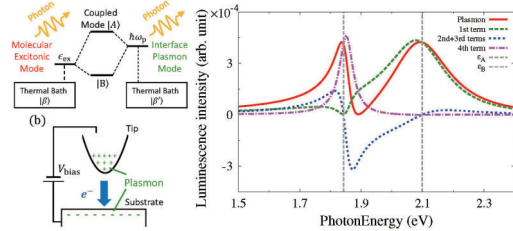


図 4. eJSSNT のなかでの国際共同研究論文の割合
(著者の所属国が 2 カ国以上の論文の割合)

図 3 と図 4 は、Elsevier が運営するデータベース Scopus をもとにした SJR (SCImago Journal & Country Rank) (<http://www.scimagojr.com/journalsearch.php?q=144782&tip=sid&exact=no>) の統計データである。

STM発光は励起子とプラズモンの結合に起因
Nonequilibrium Green's Function Theory of Scanning Tunneling Microscope-Induced Light Emission from Molecule Covered Metal Surfaces: Effects of Coupling between Exciton and Plasmon Modes

(Conference -ISSS-7-) Vol. 13, pp. 385-390 (August 8, 2015)
 K. Miwa, H. Imada, M. Sakaue, H. Kasai, Y. Kim



金属ナノ構造体での局在プラズモン

Theory of Localized Plasmons for Multiple Metal Nanostructures in the Random Phase Approximation

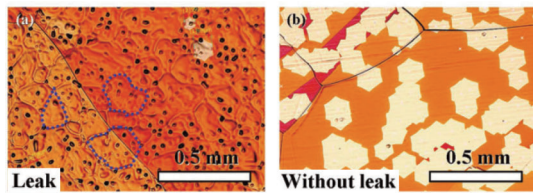
(Regular Paper) Masakazu Ichikawa
 Vol. 13, pp. 391-403 (August 22, 2015)

$$I_{ph}(\Omega, \omega) = \frac{N^2 \omega_p^4 E_0^2 a^6 \sin^2 \theta}{36 \pi^2 c^3 \hbar} \frac{\omega^3 + \omega \Gamma^2}{\left\{ \omega^2 - \frac{\omega_p^2}{3} \left[1 - \frac{2\pi^2}{3} \left(\frac{a}{R} \right)^2 \right]^2 + \omega^2 \Gamma^2 \right\}^2 + \omega^2 \Gamma^2}$$

2.5 mm サイズの単層グラフェンを作成

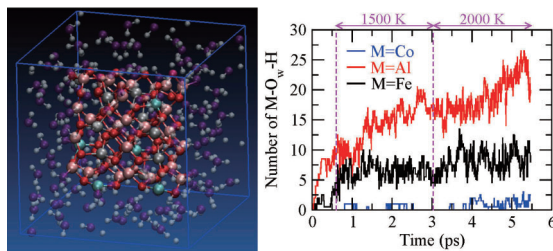
Low Density Growth of Graphene by Air Introduction in Atmospheric Pressure Chemical Vapor Deposition

(Regular Paper) Vol. 13, pp. 404-409 (August 22, 2015)
 S. Suzuki, K. Kiyosumi, T. Nagamori, K. Tanaka, M. Yoshimura



Co, Fe-アルミナによって水から水素と酸素を発生
First-Principles Study of the Adsorption/Dissociation Reactions of Water on a Fe- and Co-Al2O3 Cluster

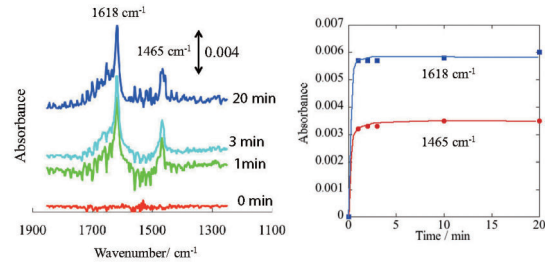
(Regular Paper) Vol. 13, pp. 410-412 (August 22, 2015)
 Masaaki Misawa, Akihide Koura, Fuyuki Shimojo, Rajiv K. Kalia, Aiichiro Nakano, Priya Vashishta



Au 電極上の酸化グラフェンの電気化学反応
Electrochemical Reaction of Graphene Oxide at Au Electrode Surface Monitored by Surface Enhanced Infrared Absorption Spectroscopy

(Conference -ISSS-7-) Vol. 13, pp. 413-416 (August 29, 2015)

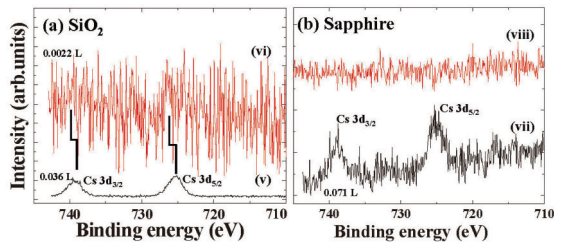
K. Nishiyama, Y. Hayashi, T. Yoshimura, Y. Yoshimura, K. Hatakeyama, T. Taniguchi, M. Koinuma, S. Yoshimoto, Y. Matsumoto



全反射 XPS で極微量の放射性 Cs を検出

Interaction between Ultra-Trace Amount of Cesium and Oxides Studied by Total-Reflection X-Ray Photoelectron Spectroscopy

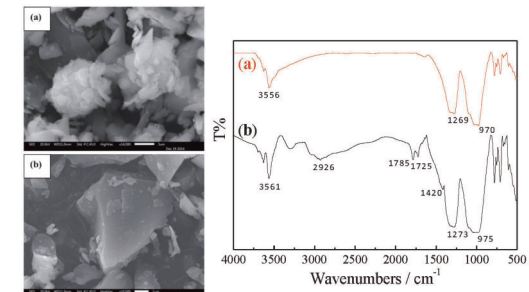
(Conference -ISSS-7-) Vol. 13, pp. 417-421 (September 5, 2015)
 Yuji Baba, Iwao Shimoyama, Norie Hirao, Toshinori Izumi



電気石トルマリンの表面修飾

Synthesis and Characterization of Polymerizable Tourmaline Methacrylate

(Regular Paper) Vol. 13, pp. 422-425 (September 5, 2015)
 Mengcan Li, Yingmo Hu, Yunhua Li, Yuhang Liu, Chao Zeng, Quan Liu, Chunyan Hou



水/アルコール中での超音波によって金ナノ粒子を合成

Selective Synthesis of Gold Nanoparticles in Water/Alcohol Binary Solution Systems by Ultrasonic Irradiation

(Regular Paper) Vol. 13, pp. 427-430 (September 19, 2015)
 Aki Mihata, Rafia Usman, Junichi Kurawaki

